

Starkniederschlagshöhen und -spenden gemäß KOSTRA-DWD-2010R

Auswertungszeitraum von 1951 - 2010, Januar - Dezember

Rasterfeld: 71015

Zeile: 71

Spalte: 15

Seite: 1/2

| Dauerstufe D | | Wiederkehrzeit T | | | | | | | | | | | | | | | | | |
|--------------|-----|------------------|------------|------|------------|------|------------|------|------------|------|------------|------|------------|------|------------|------|------------|-------|------------|
| | | 1 a | | 2 a | | 3 a | | 5 a | | 10 a | | 20 a | | 30 a | | 50 a | | 100 a | |
| min | Std | mm | l / (s ha) | mm | l / (s ha) | mm | l / (s ha) | mm | l / (s ha) | mm | l / (s ha) | mm | l / (s ha) | mm | l / (s ha) | mm | l / (s ha) | mm | l / (s ha) |
| 5 | | 5,2 | 173,3 | 7,2 | 240,0 | 8,3 | 276,7 | 9,8 | 326,7 | 11,8 | 393,3 | 13,8 | 460,0 | 15,0 | 500,0 | 16,5 | 550,0 | 18,5 | 616,7 |
| 10 | | 8,2 | 136,7 | 10,8 | 180,0 | 12,3 | 205,0 | 14,2 | 236,7 | 16,9 | 281,7 | 19,5 | 325,0 | 21,0 | 350,0 | 22,9 | 381,7 | 25,5 | 425,0 |
| 15 | | 10,2 | 113,3 | 13,2 | 146,7 | 15,0 | 166,7 | 17,3 | 192,2 | 20,3 | 225,6 | 23,3 | 258,9 | 25,1 | 278,9 | 27,4 | 304,4 | 30,4 | 337,8 |
| 20 | | 11,6 | 96,7 | 15,0 | 125,0 | 17,0 | 141,7 | 19,5 | 162,5 | 22,9 | 190,8 | 26,3 | 219,2 | 28,3 | 235,8 | 30,8 | 256,7 | 34,2 | 285,0 |
| 30 | | 13,5 | 75,0 | 17,5 | 97,2 | 19,8 | 110,0 | 22,7 | 126,1 | 26,6 | 147,8 | 30,6 | 170,0 | 32,9 | 182,8 | 35,8 | 198,9 | 39,8 | 221,1 |
| 45 | | 15,1 | 55,9 | 19,7 | 73,0 | 22,4 | 83,0 | 25,8 | 95,6 | 30,5 | 113,0 | 35,1 | 130,0 | 37,8 | 140,0 | 41,2 | 152,6 | 45,8 | 169,6 |
| 60 | | 16,1 | 44,7 | 21,2 | 58,9 | 24,3 | 67,5 | 28,1 | 78,1 | 33,2 | 92,2 | 38,3 | 106,4 | 41,4 | 115,0 | 45,2 | 125,6 | 50,3 | 139,7 |
| 90 | | 17,6 | 32,6 | 22,7 | 42,0 | 25,8 | 47,8 | 29,6 | 54,8 | 34,8 | 64,4 | 40,0 | 74,1 | 43,0 | 79,6 | 46,8 | 86,7 | 52,0 | 96,3 |
| 120 | 2 | 18,7 | 26,0 | 23,9 | 33,2 | 26,9 | 37,4 | 30,8 | 42,8 | 36,0 | 50,0 | 41,2 | 57,2 | 44,3 | 61,5 | 48,1 | 66,8 | 53,3 | 74,0 |
| 180 | 3 | 20,4 | 18,9 | 25,6 | 23,7 | 28,7 | 26,6 | 32,6 | 30,2 | 37,8 | 35,0 | 43,1 | 39,9 | 46,1 | 42,7 | 50,0 | 46,3 | 55,2 | 51,1 |
| 240 | 4 | 21,7 | 15,1 | 26,9 | 18,7 | 30,0 | 20,8 | 33,9 | 23,5 | 39,2 | 27,2 | 44,5 | 30,9 | 47,6 | 33,1 | 51,4 | 35,7 | 56,7 | 39,4 |
| 360 | 6 | 23,6 | 10,9 | 28,9 | 13,4 | 32,1 | 14,9 | 36,0 | 16,7 | 41,3 | 19,1 | 46,6 | 21,6 | 49,7 | 23,0 | 53,6 | 24,8 | 58,9 | 27,3 |
| 540 | 9 | 25,8 | 8,0 | 31,1 | 9,6 | 34,3 | 10,6 | 38,2 | 11,8 | 43,6 | 13,5 | 48,9 | 15,1 | 52,0 | 16,0 | 56,0 | 17,3 | 61,3 | 18,9 |
| 720 | 12 | 27,4 | 6,3 | 32,8 | 7,6 | 35,9 | 8,3 | 39,9 | 9,2 | 45,3 | 10,5 | 50,7 | 11,7 | 53,8 | 12,5 | 57,8 | 13,4 | 63,2 | 14,6 |
| 1080 | 18 | 29,9 | 4,6 | 35,3 | 5,4 | 38,5 | 5,9 | 42,5 | 6,6 | 47,9 | 7,4 | 53,3 | 8,2 | 56,5 | 8,7 | 60,5 | 9,3 | 65,9 | 10,2 |
| 1440 | 24 | 31,8 | 3,7 | 37,2 | 4,3 | 40,4 | 4,7 | 44,5 | 5,2 | 49,9 | 5,8 | 55,3 | 6,4 | 58,5 | 6,8 | 62,6 | 7,2 | 68,0 | 7,9 |
| 2880 | 48 | 37,2 | 2,2 | 43,2 | 2,5 | 46,7 | 2,7 | 51,1 | 3,0 | 57,1 | 3,3 | 63,1 | 3,7 | 66,6 | 3,9 | 71,1 | 4,1 | 77,1 | 4,5 |
| 4320 | 72 | 40,7 | 1,6 | 47,0 | 1,8 | 50,7 | 2,0 | 55,4 | 2,1 | 61,8 | 2,4 | 68,1 | 2,6 | 71,8 | 2,8 | 76,5 | 3,0 | 82,8 | 3,2 |

Angaben in mm: Bemessungsniederschlagswerte h(n)

Angaben in l / (s ha): Regenspende R(n) mit $R(n) = h(n) \times 1,666667 / D[\text{min}]$

Toleranzbereiche:

+/- 10 % für $1 a \leq T \leq 5 a$

+/- 15 % für $5 a < T \leq 50 a$

+/- 20 % für $50 a < T \leq 100 a$

Datenbasis: KOSTRA-DWD-2010R des Deutschen Wetterdienstes. Die Regenspende wurde auf Basis des Bemessungsniederschlags zur jeweiligen Andauer berechnet.

Für die Richtigkeit und Aktualität der Angaben wird keine Gewähr übernommen. Erstellt 07/2022.

Starkniederschlagshöhen und -spenden gemäß KOSTRA-DWD-2010R

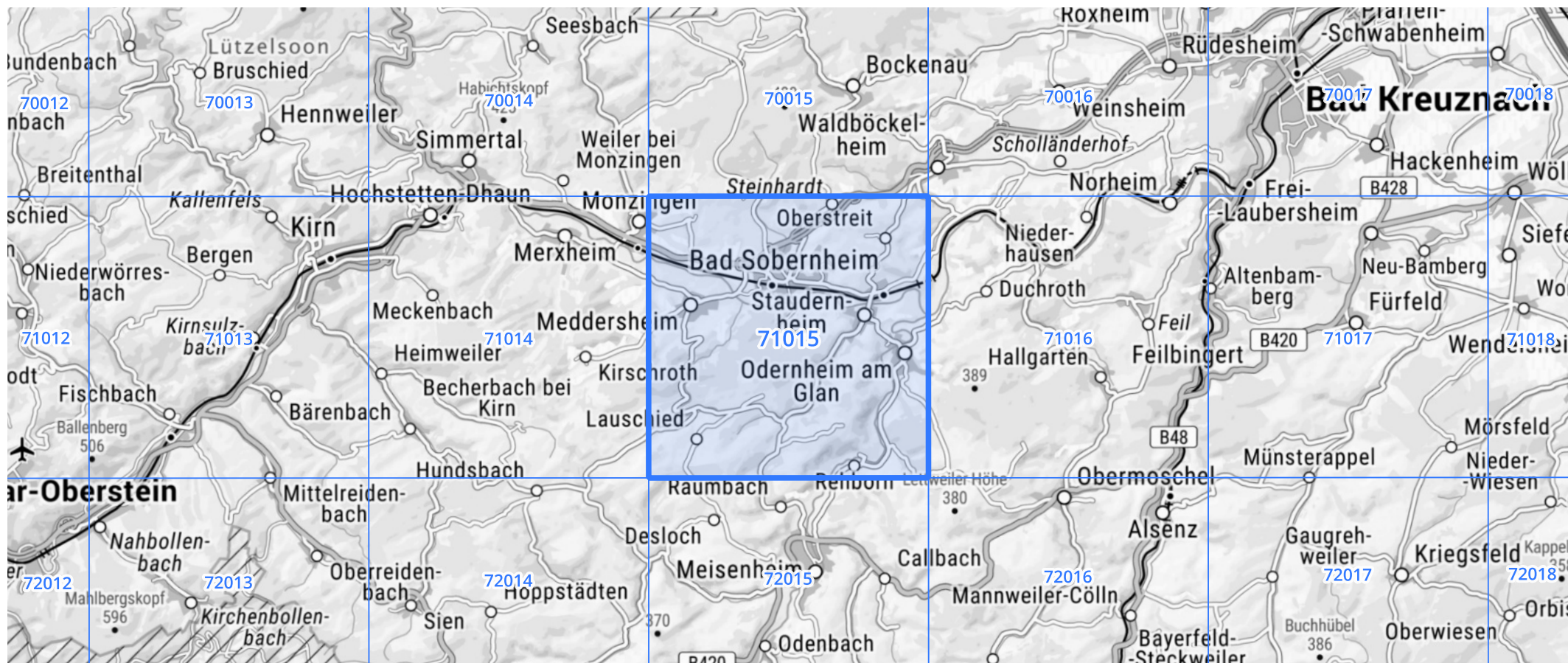
Auswertungszeitraum von 1951 - 2010, Januar - Dezember

Rasterfeld: 71015

Zeile: 71

Spalte: 15

Seite: 2/2



Quelle Rasterdaten: KOSTRA-DWD-2010R des Deutschen Wetterdienstes.

Kartendarstellung: © Bundesamt für Kartographie und Geodäsie (2022), Datenquellen: https://sgx.geodatenzentrum.de/web_public/gdz/datenquellen/Datenquellen_TopPlusOpen.html

Für die Richtigkeit und Aktualität der Angaben wird keine Gewähr übernommen. Erstellt 07/2022.